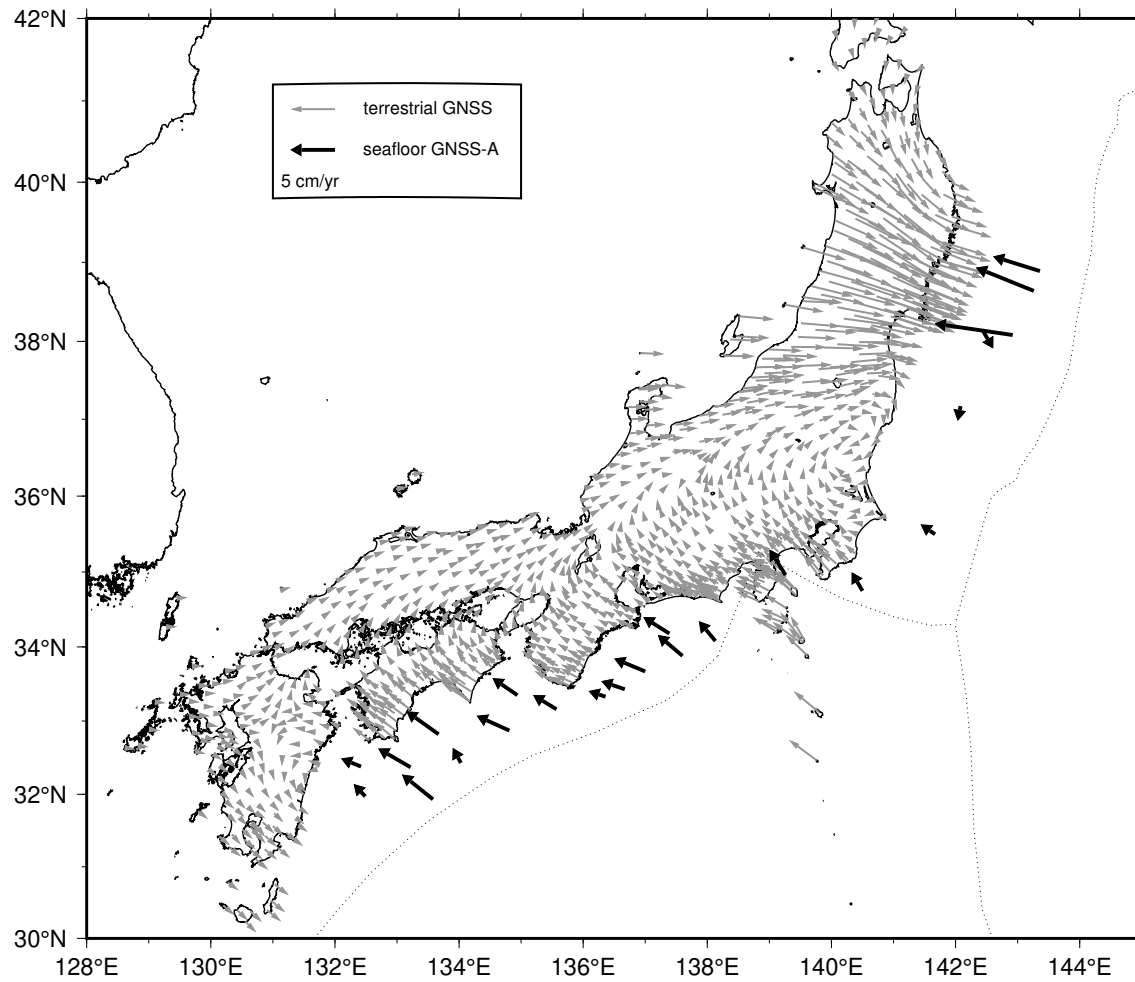


第 382 回地震調査委員会資料

令和 5 年 2 月 9 日



直近約4年間の水平移動速度【ユーラシアプレート固定】

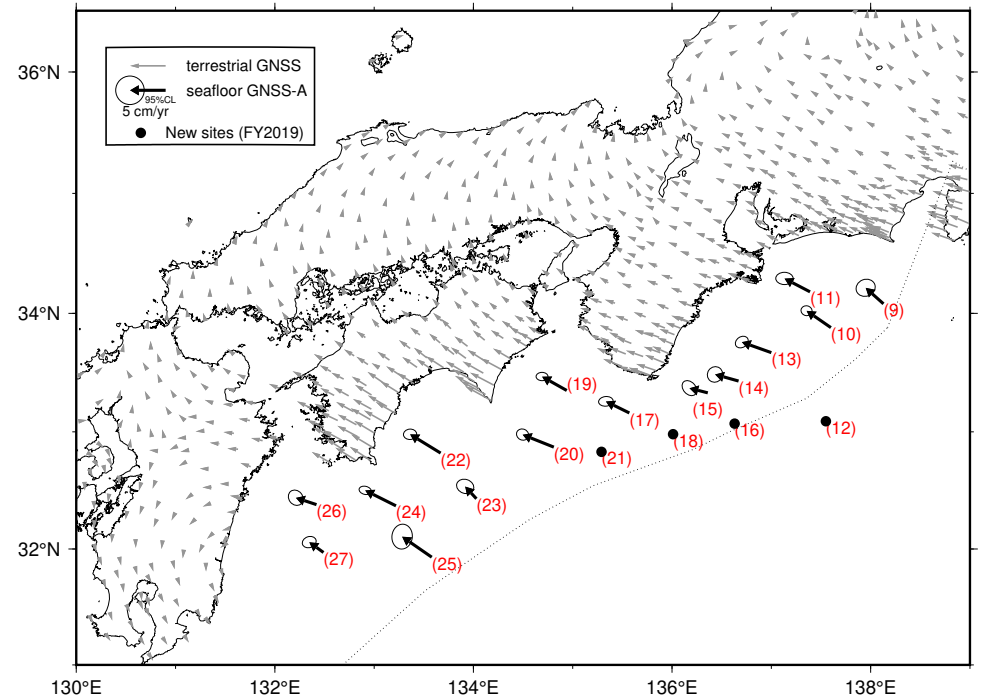


陸域の速度場は国土地理院 GEONET F5 解の 12/15/2018 - 12/15/2022 の期間

海上保安庁

南海トラフ沿いの直近約4年間の水平移動速度【アムールプレート固定】

| Site name | Lat. (°N) | Lon. (°E) | Velocity (cm/yr) (deg) | | Period | Data | Update |
|-----------|--------------|--------------|---------------------------|-------|-------------------------|------|--------|
| (9) TOK1 | 34.08 | 138.13 | 3.4 | 311.9 | 08/13/2018 - 09/09/2022 | 20 | |
| (10) TOK2 | 33.88 | 137.60 | 4.2 | 304.8 | 11/28/2018 - 12/04/2022 | 19 | * |
| (11) TOK3 | 34.18 | 137.39 | 4.0 | 297.7 | 09/13/2018 - 10/11/2022 | 17 | * |
| (12) ZENW | 33.09 | 137.55 | - | - | 02/20/2020 - 09/09/2022 | 10 | |
| (13) KUM1 | 33.67 | 137.00 | 4.4 | 289.7 | 09/13/2018 - 10/11/2022 | 19 | * |
| (14) KUM2 | 33.43 | 136.67 | 3.4 | 285.8 | 11/27/2018 - 12/05/2022 | 20 | * |
| (15) KUM3 | 33.33 | 136.36 | 2.7 | 284.4 | 08/12/2018 - 09/14/2022 | 20 | |
| (16) KUM4 | 33.08 | 136.64 | - | - | 02/21/2020 - 09/14/2022 | 11 | |
| (17) SIOW | 33.16 | 135.57 | 3.7 | 296.3 | 11/21/2018 - 12/15/2022 | 21 | * |
| (18) SIO2 | 32.98 | 135.99 | - | - | 03/18/2020 - 12/15/2022 | 13 | * |
| (19) MRT1 | 33.35 | 134.94 | 4.0 | 299.5 | 11/23/2018 - 12/05/2022 | 19 | * |
| (20) MRT2 | 32.87 | 134.81 | 4.7 | 291.9 | 08/11/2018 - 09/12/2022 | 24 | |
| (21) MRT3 | 32.80 | 135.35 | - | - | 08/10/2019 - 09/12/2022 | 16 | |
| (22) TOS1 | 32.82 | 133.67 | 5.0 | 301.7 | 11/24/2018 - 12/08/2022 | 18 | * |
| (23) TOS2 | 32.43 | 134.03 | 2.3 | 317.7 | 02/15/2019 - 12/08/2022 | 18 | * |
| (24) ASZ1 | 32.37 | 133.22 | 4.8 | 296.7 | 11/24/2018 - 12/06/2022 | 16 | * |
| (25) ASZ2 | 31.93 | 133.58 | 5.1 | 304.8 | 11/26/2018 - 12/07/2022 | 16 | * |
| (26) HYG1 | 32.38 | 132.42 | 3.1 | 288.3 | 11/25/2018 - 12/07/2022 | 17 | * |
| (27) HYG2 | 31.97 | 132.49 | 2.5 | 306.2 | 11/25/2018 - 12/06/2022 | 18 | * |
| GEONET | | | | | 12/15/2018 - 12/15/2022 | | |

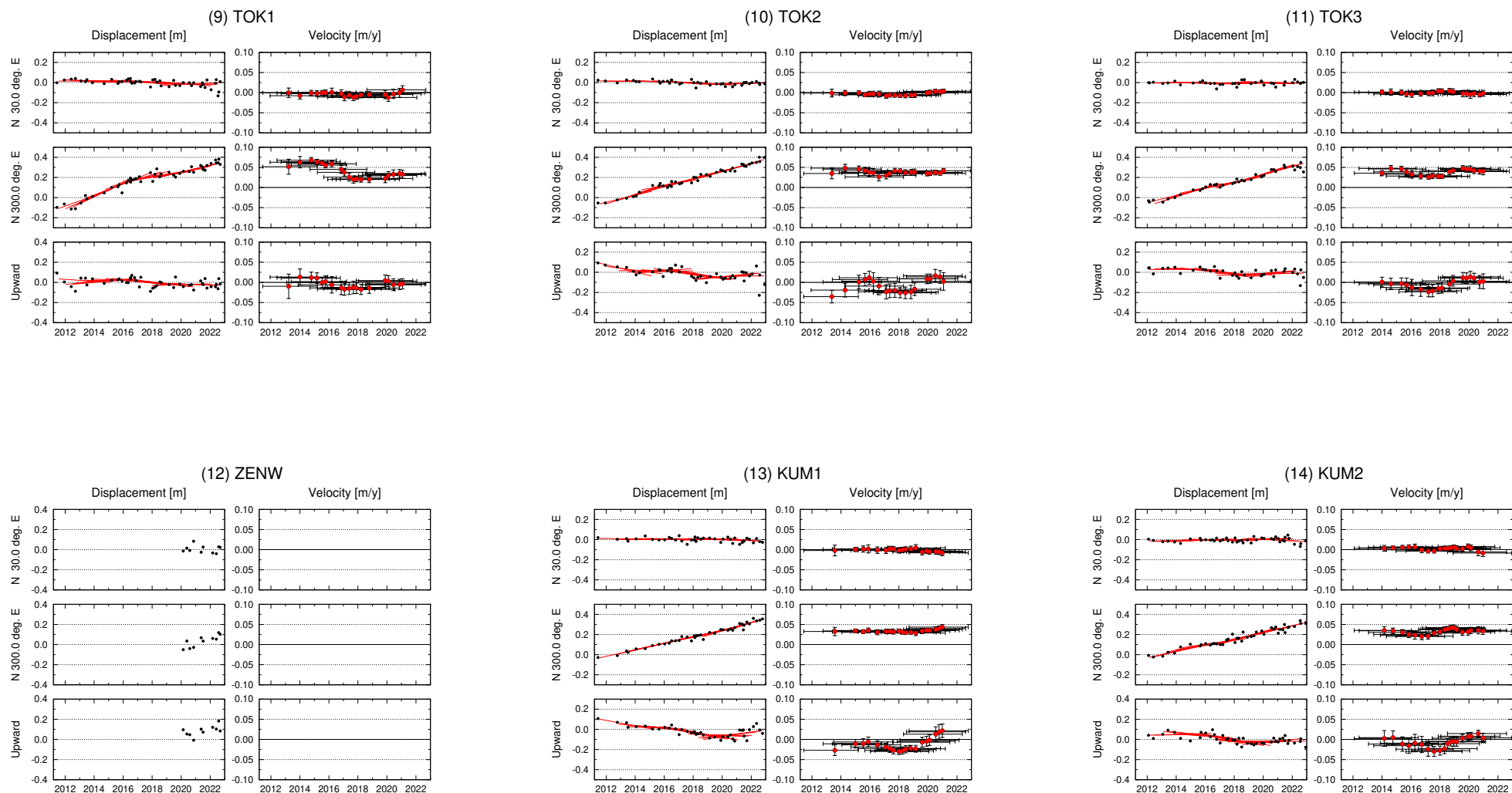


GNSS-A 観測時系列【アムールプレート固定】

各図の右列は、4.1 年の時間窓による回帰直線から求めた変動速度

縦のバーは速度推定の 95% 信頼区間，横のバーは速度推定のデータ期間

水平成分の座標軸は北から時計回りに 300° 回転

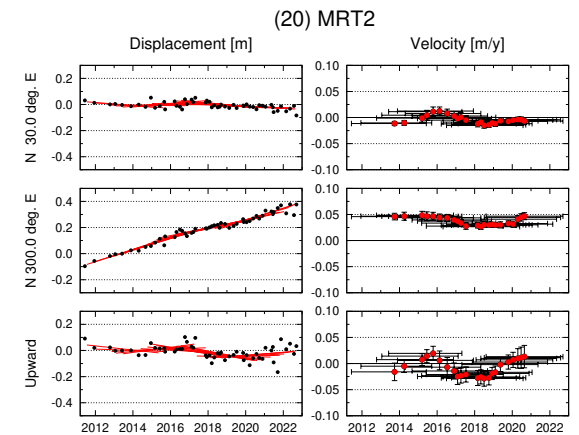
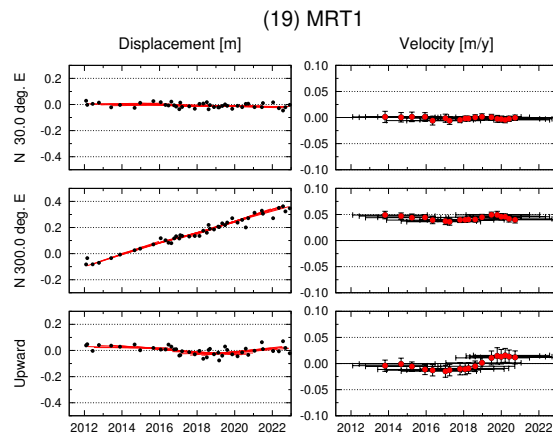
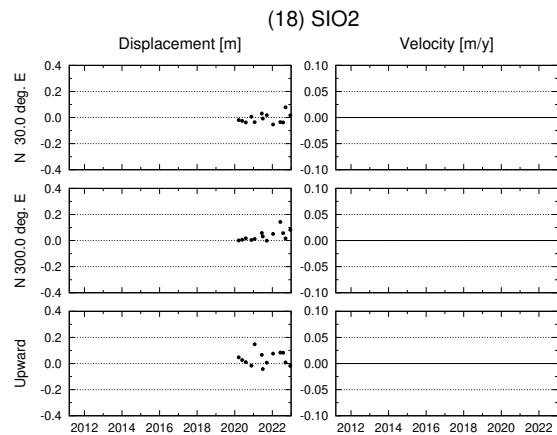
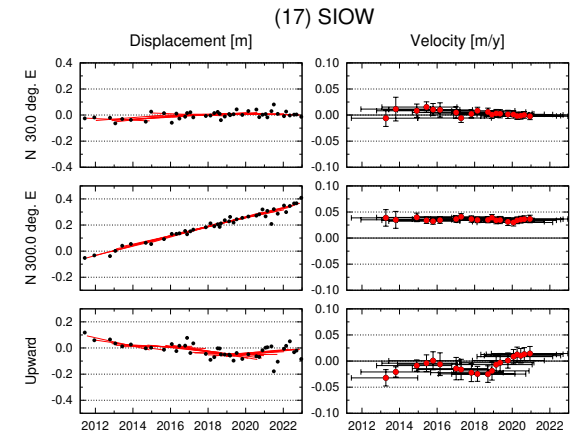
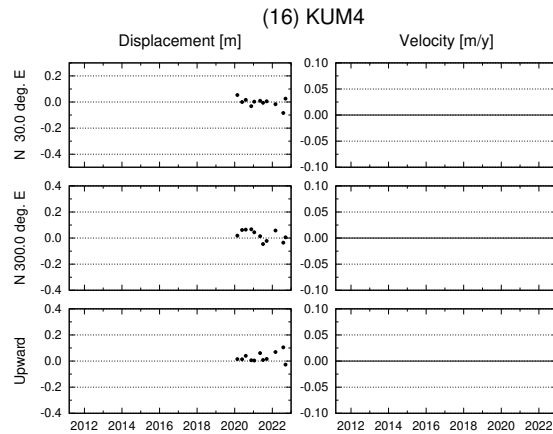
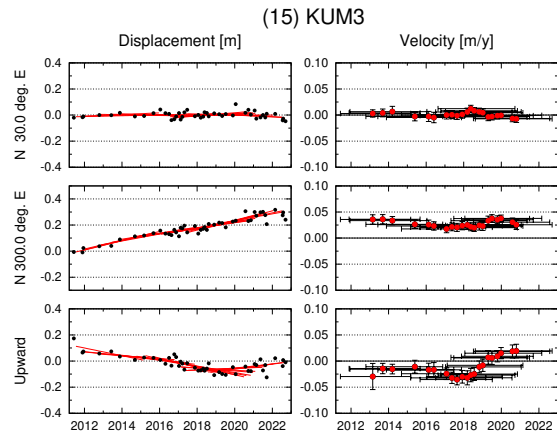


GNSS-A 観測時系列【アムールプレート固定】

各図の右列は、4.1 年の時間窓による回帰直線から求めた変動速度

縦のバーは速度推定の 95% 信頼区間，横のバーは速度推定のデータ期間

水平成分の座標軸は北から時計回りに 300° 回転

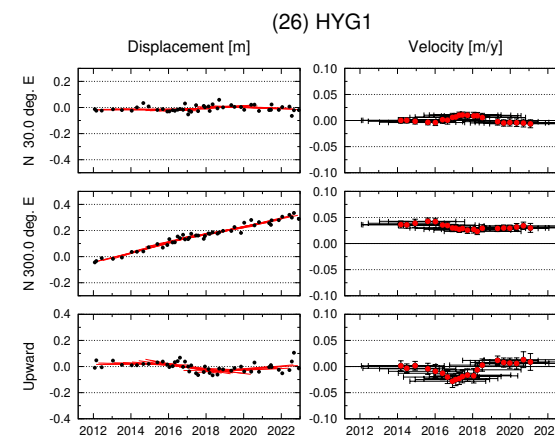
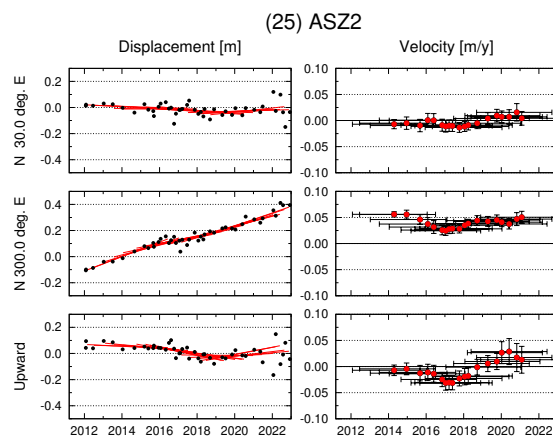
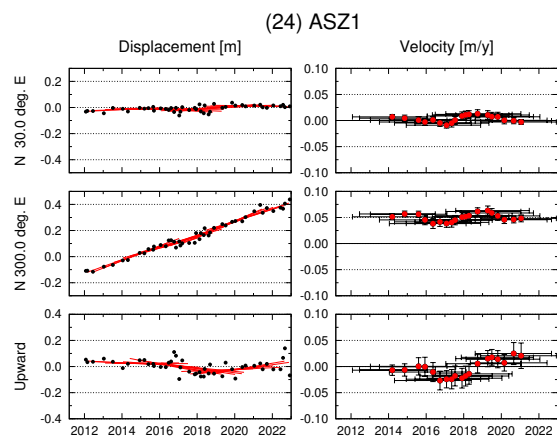
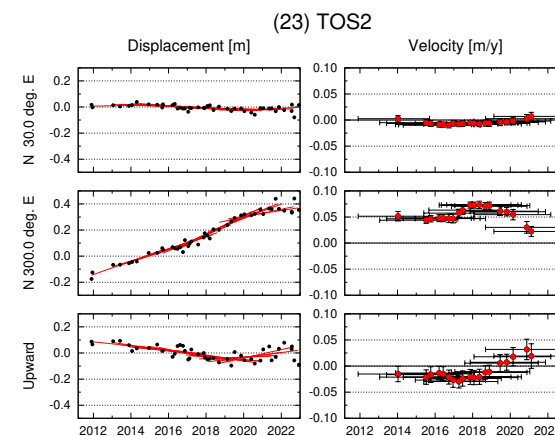
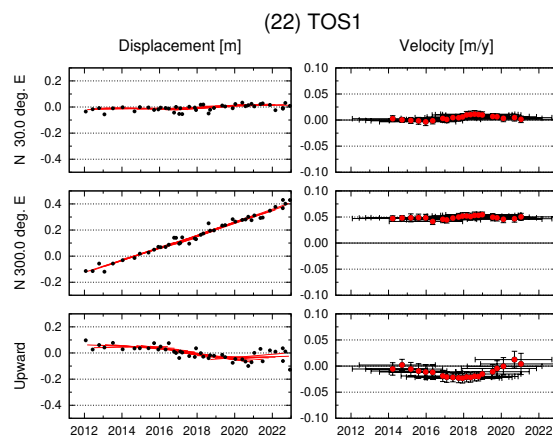
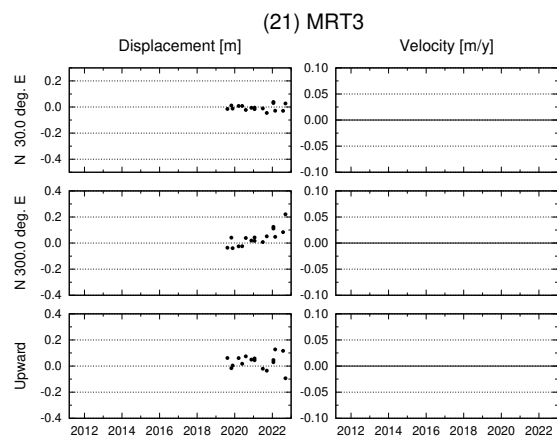


GNSS-A 観測時系列【アムールプレート固定】

各図の右列は、4.1 年の時間窓による回帰直線から求めた変動速度

縦のバーは速度推定の 95% 信頼区間，横のバーは速度推定のデータ期間

水平成分の座標軸は北から時計回りに 300° 回転



GNSS-A 観測時系列【アムールプレート固定】

各図の右列は、4.1 年の時間窓による回帰直線から求めた変動速度

縦のバーは速度推定の 95% 信頼区間，横のバーは速度推定のデータ期間

水平成分の座標軸は北から時計回りに 300° 回転

